

Jak przegrzać priony? Aktywacja i inhibicja białek prionowych

Diana Wojtkowiak

www.torsionfield.eu

Gdańsk, 19 marca 2022

Streszczenie

Określenie priony stało się sławne w związku z zakaźną chorobą szalonych krów, gdzie białko te o zmienionej chorobowo konformacji przenoszone jest między osobnikami. Nie ma w tej zarazie bakterii, wirusów, ani DNA czy RNA. Dominujące obecnie podejście badawcze, aby krótką drogą dojść do metody leczenia jakiejś choroby, zamknęło naukowcom oczy na te fascynujące białko prionowe i białka jemu podobne. Okazuje się jednak, że to co wydawało się czymś wrednym, a jednocześnie niepotrzebnym w naszym organizmie, wykazuje zadziwiające wprost właściwości. Białka prionowe i prionopodobne przeprowadzają biologiczną reakcję jądrową, są czujnikami pól torsyjnych i zegarem kosmicznym regulującym wolnozmiennie procesy życiowe.

Wprowadzenie

Białko prionowe i białka prionopodobne stały się obecnie tematem dyskusji jako nowoczesnej broni biologicznej ze zdalnym włączaniem i wyłączaniem. Temat wyszedł już poza kręgi wojskowe, ponieważ operacja COVID19, która dotknęła całą ludzkość, oparta jest w znacznej mierze na białkach prionopodobnych. Sekwencje odpowiedzialne za tworzenie prionowej harmonijki β i polimeryzację cząstek białka do postaci pseudokryształów znaleziono w wewnętrznym białku koronawirusów, a także w znajdującym się na powierzchni wirusa SARS-cov2 białku spike, które obecnie traktowane jest jako białko modyfikowane w laboratorium lub wręcz syntetyczne. Nic dziwnego, skoro komputery PC, które pojawiły się u nas pod koniec lat 80-tych, przyszedł do nas razem z wirusami komputerowymi. Białka prionopodobne znajdujące się w mikrogrzybach, bakteriach i wirusach, służą zwiększeniu ich inwazyjności i ułatwieniu przetrwania w organizmie gospodarza poprzez aktywne osłabienie odpowiedzi immunologicznej. Nie szukając daleko, białko prionopodobne posiada bakteria *Pseudomonas aeruginosa*, czyli pałeczka ropy błękitnej. Dzięki temu białku znajduje sobie niszę, w której może przetrwać całe nasze życie, aktywując się jedynie od czasu do czasu. Ale o białku prionowym wiemy też, że samo białko prionowe w chorobie Creutzfeldta Jakoba czy w chorobie szalonych krów jest zakaźne i jest w stanie degradować układ nerwowy doprowadzając ostatecznie do śmierci. Z kolei różne białka prionopodobne nie przenoszące się tak łatwo z organizmu do organizmu jak białko prionowe, przenoszą się z jednego organu do drugiego, a podczas przeszczepów czy transfuzji krwi mogą dokonywać zarażania nietypową konformacją inne cząsteczki tego samego białka albo zupełnie innego białka prionopodobnego. Prowadzi to do złogów amyloidowych w chorobie Alzheimerera, czy podobnych struktur w chorobie Parkinsona i w cukrzycy.

Jak opisałam w poprzednim artykule ¹ białka prionopodobne znajdują się w naszych czakramach i mogą być silnie aktywowane metodami mentalnymi, nawet tysiące razy. Nasuwa to przypuszczenie, że mogą być równie silnie aktywowane z zewnątrz na przykład z użyciem cząstek pola torsyjnego, co mogłoby być wykorzystane dla danej osoby w celu leczenia lub uzyskania zdolności paranormalnych albo też przeciw niej.

Aktywność białek prionowych w naszym organizmie jest kontrolowana przez wewnętrzne mechanizmy, aby nie była ani za duża, ani za mała. Wobec skażenia środowiska różnymi substancjami chemicznymi, jak też polami torsyjnymi, aktywność prionów jest raczej za duża. Z licznej literatury dotyczącej białka prionowego i białek prionopodobnych, możemy wysnuć dosyć oczywisty wniosek, że ich zbyt duża aktywność prowadzi w długim okresie do wielu chorób zwanych cywilizacyjnymi. Stąd korzystne jest spożywanie warzyw, owoców i przypraw zawierających substancje obniżające aktywność pobudzonych prionów. Niemniej jednak gremia globalistyczne mają przeciwny podejście. Chcą abyśmy chorowali i umierali niejako z naturalnych przyczyn. Stąd w tytule ich podejście i ich broń, którą warto poznać: Jak przegrzać priony?

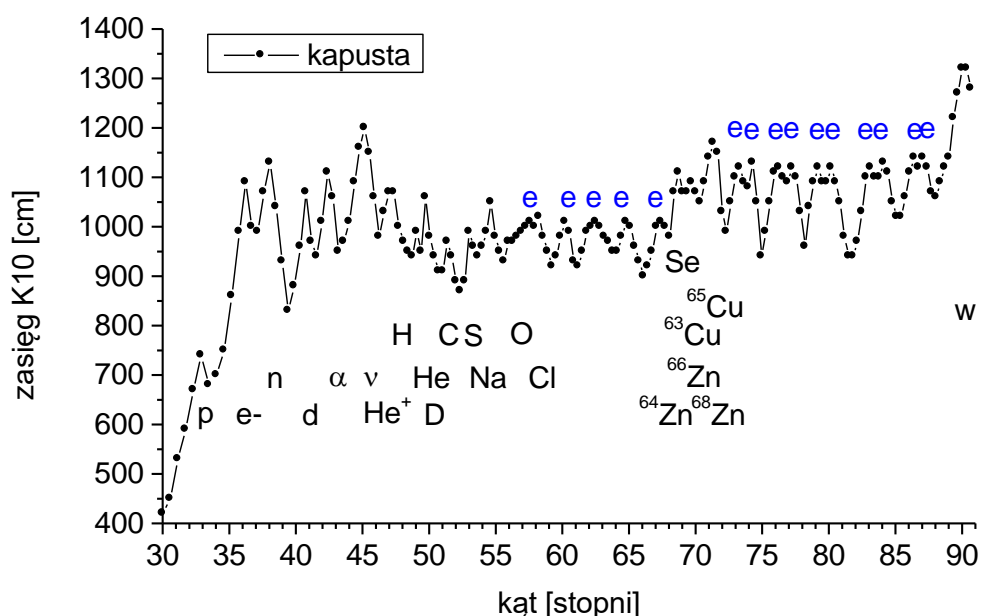
Część doświadczalna i dyskusja

Roślinne promieniowanie śmierci

Znamy tradycyjną metodę przykładania potłuczonych liści kapusty na bolące stawy. Bynajmniej nie chodzi o sok z kapusty, jak byśmy zdroworozsądkowo przypuszczali. To znacznie więcej. Istnieje coś takiego jak promieniowanie śmierci, dotyczy ono wszystkich organizmów żywych. Zabijane lub silnie zestresowane komórki wysyłają szczególny rodzaj promieniowania, które odbierają inne komórki i inne organizmy. W przypadku człowieka przebywanie, a szczególnie spanie w miejscu, w którym ktoś zmarł, uważa się za niekorzystne dla zdrowia osoby, która śpi w takim miejscu. Stąd tradycyjny zwyczaj palenia łóżka, na którym ktoś zmarł. Z kolei od lekarzy wiemy, że na oddziałach, na których zmarło wiele osób, leczenie jest nieefektywne i mamy większy niż spodziewany odsetek przypadków śmiertelnych. W szpitalach nikt nie pali łóżek, uważając takie podejście za nienaukowe. Z kolei twórcy rosyjskiego urządzenia radionicznego Oberon, w swoim patencie wykorzystywali promieniowanie śmierci do skutecznej aktywacji zdolności jasnowidzenia, korzystając z zabijania bakterii, myszy, psów małych oraz obecności osób terminalnie chorych. Na ile te doświadczenia zostały wykorzystane w urządzeniu Oberon nie wiemy, ale może wykorzystano spontaniczną reakcję zimnej syntezy jądrowej nie w postaci biologicznej, ale technicznej, w której można wygenerować podobne spektrum cząstek elementarnych. Jasnowidzenie jest skarbem w diagnostyce chorób, które sprawiają ogromne kłopoty lekarzom, a pacjenci mający poważne objawy wędrują od jednego lekarza do drugiego bez uzyskania diagnozy. W przypadku roślin promieniowanie śmierci jest korzystne dla roślin rosnących obok, ponieważ dzięki jego obecności uruchamiane są systemy obronne i naprawcze. I to promieniowanie wykorzystano już wiele wieków temu obkładając chore miejsca potłuczonymi częściami roślin.

Sprawdźmy jak wygląda spektrum promieniowania potłuczonej kapusty z wykorzystaniem spektroskopii cząstek pola torsyjnego. Spektrum to pokazane jest na rys. 1. Spektrum to zmierzono dla próbki sygału pobranego po 18 minutach od momentu pogniecenia liścia kapusty młotkiem na imadełku. Liście były umieszczane w zlewce, a w zagłębieniu między kawałkami liści umieszczano cienkościenną fiolkę z 5 ml wody na pięć do sześćdziesiąt sekund, odpowiednio do potrzeb doświadczenia. Taka fiolka po tym czasie

stawała się preparatem homeopatycznym promieniującym cząstkami pola torsyjnego na odległość kilku metrów. Wzięto próbkę z pierwszego maksimum sygnału na wstępnie wyznaczonej krzywej intensywności promieniowania, rys. 2.

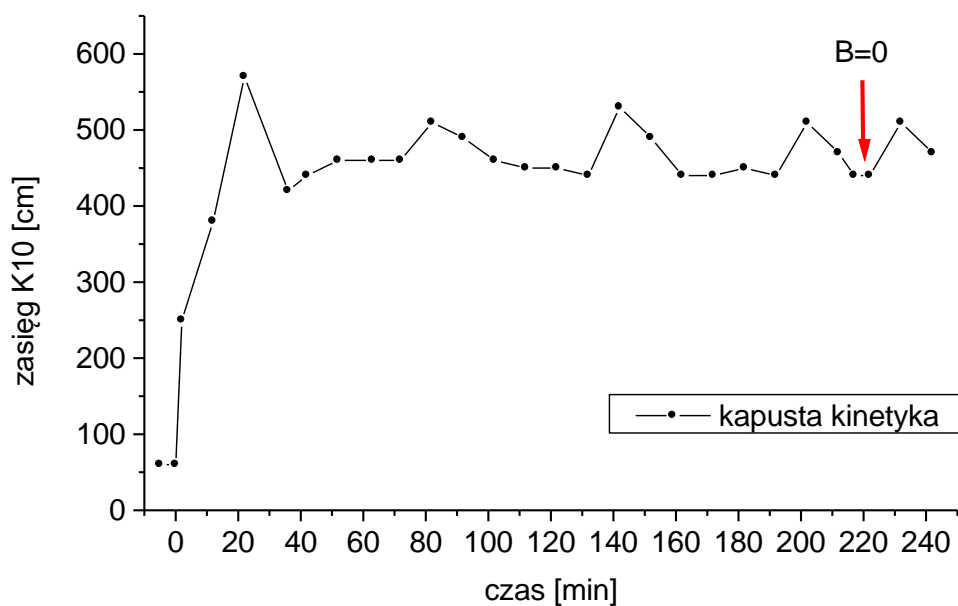


Rys. 1. Spektrum cząstek pola torsyjnego emitowanych przez potłuczoną kapustę. Oznaczenia: p - protony, e- - elektrony, n - neutrony, d - deuterony, α - cząstki alfa, ν - neutrino, He^+ zjonizowany hel, He - hel, H - wodór, D - deuter, C - węgiel, S - siarka, Na - sód, O - tlen, Cl - chlor, Cu - miedź, Zn - cynk, Se - selen, w - WIMP-y, e - sygnał od pierścieni aminokwasów aromatycznych. Oś odciętych - kąt wiązki padającej względem płaszczyzny łamiącej mierzony w stopniach; oś rzędnych - zasięg promieniowania Kategorii K10 z próbek na wyjściu spektroskopu mierzony w centymetrach.

Z wykresu spektrum widzimy, że mamy obecność biologicznej reakcji jądrowej, wytwarzającej cząstki wysokoenergetyczne takie jak: neutrony, deuterony, cząstki alfa, neutrino i WIMP-y. Mamy też obecność enzymu miedziowo-cynkowego, prowadzącego tę biologiczną reakcję jądrową. Enzym ten, jak to przeanalizowano w poprzednim artykule ¹, jest białkiem prionopodobnym. Stąd widzimy, że w oddziaływaniu na odległość mogą brać udział cząstki wysokoenergetyczne oraz WIMP-y. To te ostatnie budzą w oddziaływaniach biologicznych największe zainteresowanie, jako że z perspektywy czasu możemy przyjąć, że promieniowanie mitogenetyczne odkryte przez Aleksandra Gurwicza posługuje się głównie WIMP-ami. Same WIMP-y, będące składnikiem ciemnej materii na peryferiach galaktyk, ale też wykorzystywane przez nasze organizmy, opisałam we wspomnianej pracy ¹.

Zegarowa zmiana aktywności

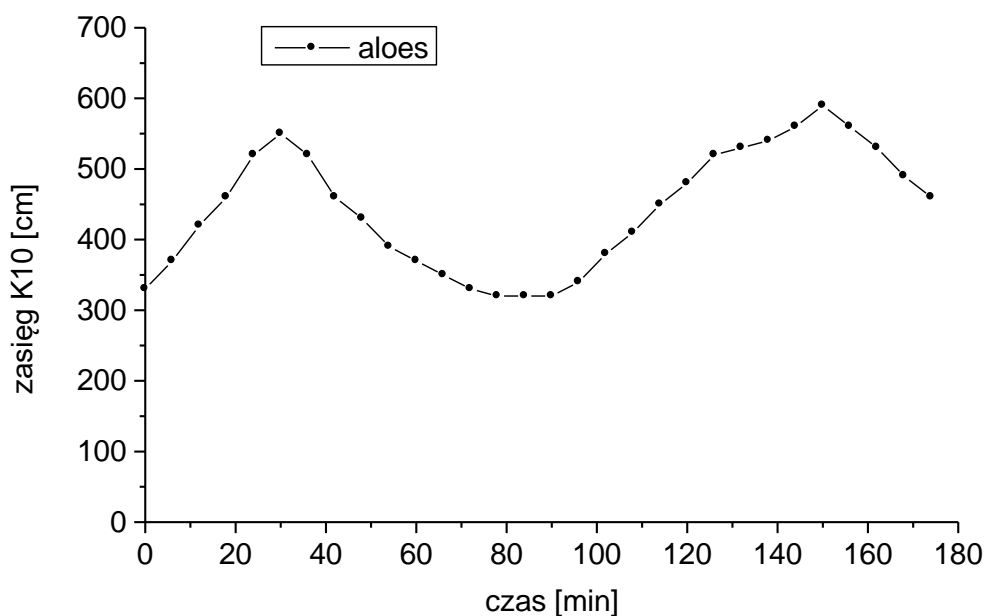
Na rys. 2 przedstawiona jest cykliczna zmiana aktywności białka prionopodobnego kapusty odpowiedzialnego za promieniowanie śmierci. Jako że najwyższy sygnał pochodzi od WIMP-ów, możemy zakładać, że wykres ten jest odzwierciedleniem produkcji WIMP-ów.



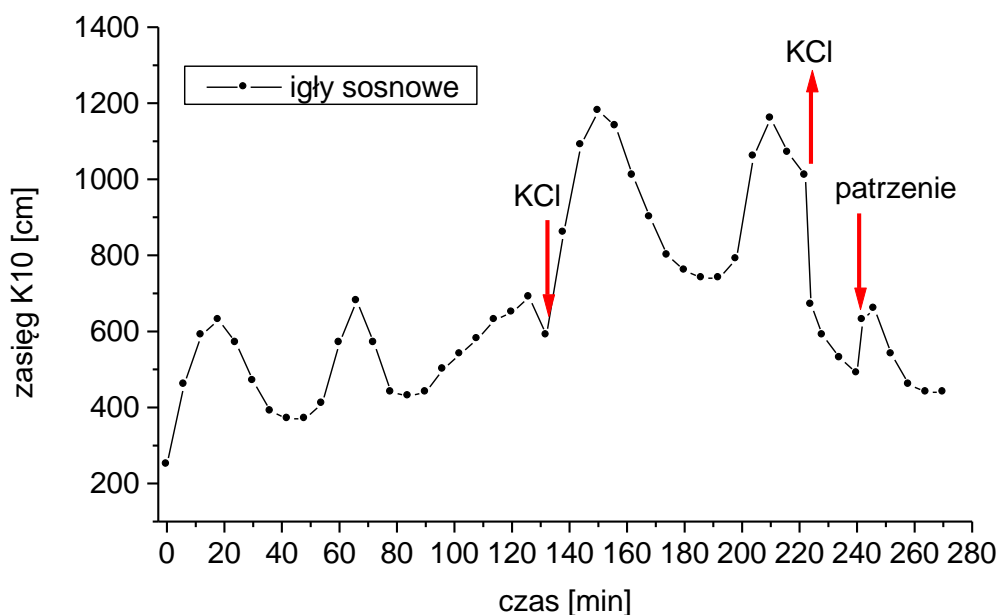
Rys. 2. Kinetyka intensywności promieniowania cząstek pola torsyjnego z uszkodzonych liści kapusty. Aktywacja enzymu poprzez mechaniczne uszkodzenie komórek młotkiem nastąpiła w czasie od -2min do 0 min. Próbki były umieszczane w potłuczonej kapuście na 60s. Strzałka pokazuje moment, w którym obniżono zewnętrzne ziemskie pole magnetyczne. Oś odciętych - czas liczony w minutach; oś rzędnych - zasięg promieniowania Kategorii K10 mierzony w centymetrach.

Z wykresu możemy ustalić długość cyklu zegara wynoszącą 60min. Cykl ten tutaj nie odpowiada jakiemuś czasowi bezwzględnemu. Możemy go zresetować umieszczając kapustę na moment w metalowej puszcze obniżającej co najmniej dziesięciokrotnie pole magnetyczne Ziemi, z którym związane jest naturalne wirowe pole torsyjne Ziemi. Do tego celu użyta może być dawnego typu lodówka, której ścianki stanowią blachy stalowe. Obecne lodówki mają część obudowy (tył, spód) wykonaną z tworzywa sztucznego, więc nie są przydatne do kasowania preparatów homeopatycznych. W doświadczeniu zdał jednak egzamin zamrażalnik zakupionej nowej lodówki. Obniżenie pola magnetycznego i torsyjnego spowodowało wyzerowanie zegara.

Kapusta nie jest jakimś unikatem w dostarczaniu promieniowania śmierci. Na rys. 3 znajduje się wykres kinetyki dla potłuczonego liścia aloesu, spełniającego podobną funkcję leczniczą, a na rys. 4 wykres dla potłuczonych igieł sosnowych.



Rys. 3. Kinetyka intensywności promieniowania cząstek pola torsyjnego z potłuczonym liściem aloesu. Sygnał przenoszony do próbki w ciągu czasu 60s. Długość obserwowanego cyklu ok. 120min. Oznaczenia jak na rys. 2.



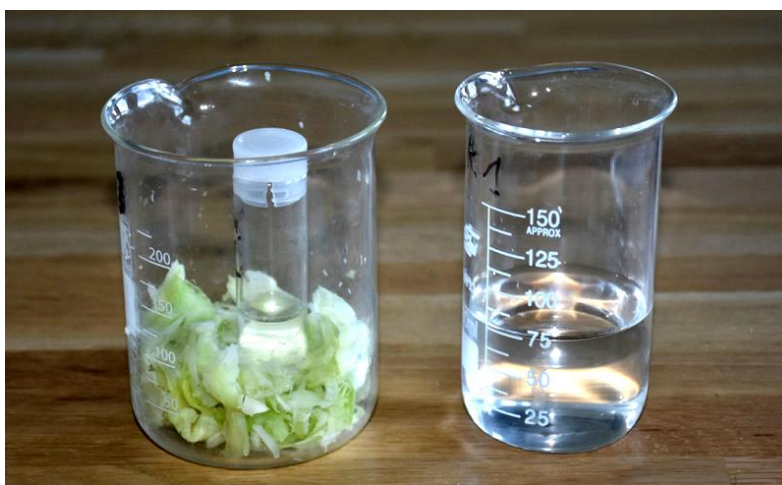
Rys. 4. Kinetyka intensywności promieniowania cząstek pola torsyjnego z potłuczonych igieł sosnowych. Sygnał przenoszony do próbek w ciągu czasu 60s. Długość cyklu ok. 60min. Strzałki z oznaczeniem KCl pokazują momenty kiedy obok zlewki z igłami postawiono, a później zabrano, butelkę z 0,5kg chlorku potasu. Strzałka w 240 minucie pokazuje tzw.

wpływ operatora, w tym przypadku patrzenia na kapustę przez jedną minutę. Pozostałe oznaczenia jak na rys. 2.

Podczas badania cyklu dla igieł sosnowych, sprawdzono znany fakt, że słabe promieniowanie radioaktywne, takie jak pochodzące od zwykłego chlorku potasu, zawierającego naturalnie niewielką ilość promieniotwórczego izotopu potasu K-40, stymuluje aktywność czakramów. W przypadku białka prionowego igieł sosnowych pod wpływem oddziaływania promieniowania radioaktywnego potasu nastąpiła aktywacja biologicznej reakcji jądrowej (około dwukrotna). W doświadczeniach z cząstkami pola torsyjnego i z obiektami biologicznymi, zawsze trzeba brać pod uwagę, że sami jesteśmy promiennikami cząstek pola torsyjnego i WIMP-ów. A szczególną rolę odgrywają oczy, czy raczej czakramy oczu. Wobec tego przez nieuwagę możemy wpływać na wyniki eksperymentu. Na wykresie widzimy, że jednonumitowe patrzenie na kapustę (240-ta minuta) zmieniło aktywność enzymu, powodując zwiększenie intensywności reakcji.

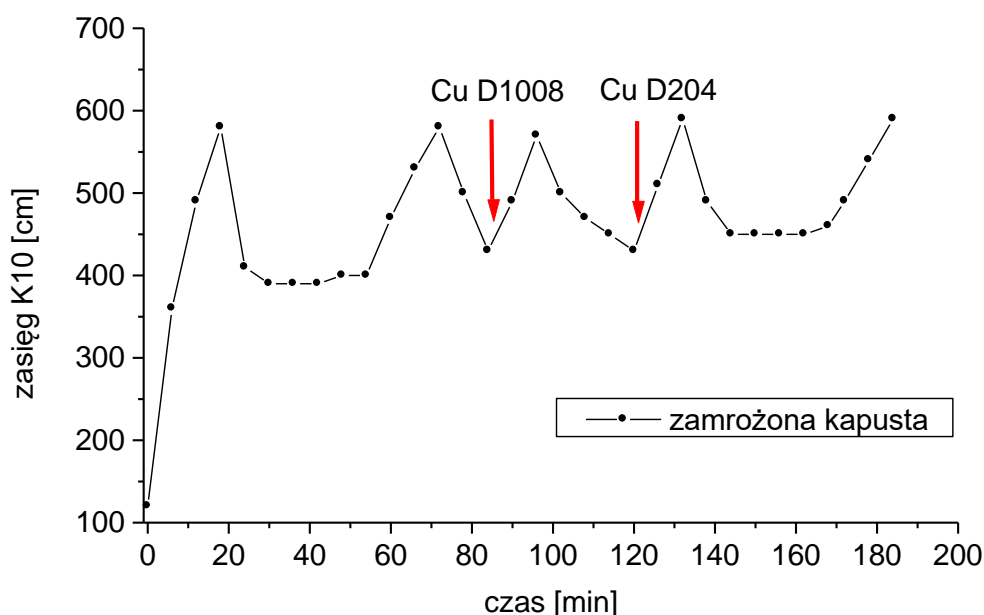
Oddziaływanie na białko prionopodobne preparatami homeopatycznymi

Unikalność przedstawionych dalej doświadczeń polega na tym, że wykorzystano wielką wrażliwość białek prionopodobnych na oddziaływania subtelne. Nie trzeba było preparatu homeopatycznego wprowadzać do kapusty, wystarczyło preparat homeopatyczny nalany do zlewki ustawić ok 2cm od zlewki w której znajdowała się kapusta. Pokazane jest to na rys. 5. Pokazana sytuacja jest o tyle nieścisła, że podczas ekspozycji na preparat homeopatyczny nie ściągano jednocześnie sygnału do fiolki. Wystarczający był czas dwóch minut. Moc preparatów homeopatycznych nie była wygórowana, odpowiadała w przybliżeniu komercyjnym lekom homeopatycznym o potencjach dwieście i tysięcy. Wartości 204 i 1008 biorą się ze ścisłego przestrzegania, aby preparat odpowiadał dwunastkowej wielokrotności nalewki pierwotnej, to znaczy żeby oddziaływanie odpowiadało substancji naturalnej, a nie jakimś przetransformowanym jej właściwościom. Problem cyklu potencji w preparatach homeopatycznych opisany jest w pracy ². Zapis potencji jako D jest po to aby był w miarę bliski dla homeopatów, którzy się posługują tego rodzaju skalą. W rzeczywistości wykorzystywane w pracy własne preparaty homeopatyczne nie były wykonywane na wytrząsarkach, a z użyciem akceleratora cząstek pola torsyjnego, podobnie jak to zostało opisane w pracy ².



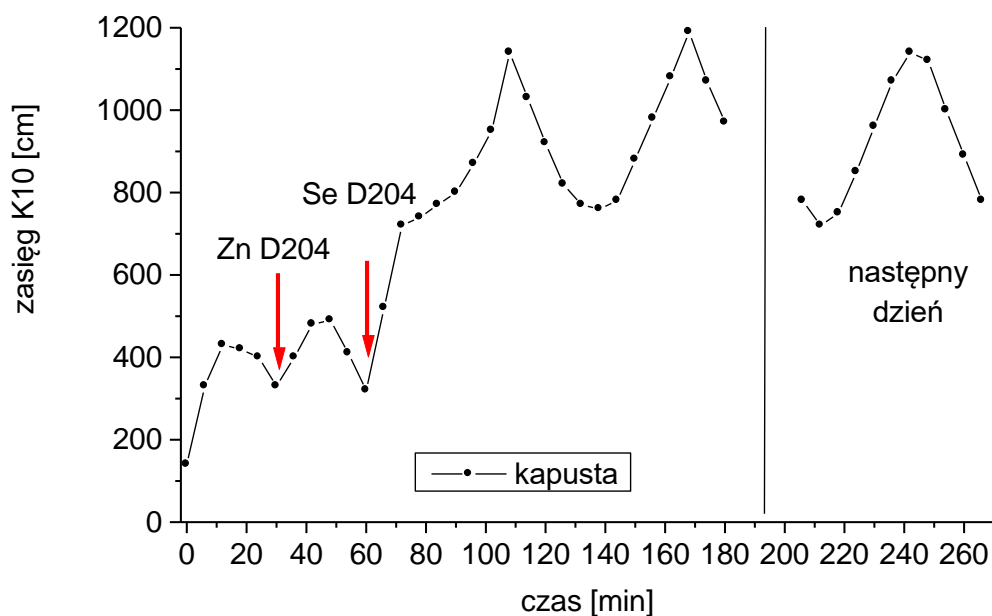
Rys. 5. Zdjęcie pokazujące układ, w którym następowało oddziaływanie preparatu homeopatycznego na odległość.

Jako, że badane przeze mnie enzymy prionopodobne zawierały kilka ważnych, a częściowo unikalnych pierwiastków jak miedź, cynk, selen czy siarka, od razu nasunęła się koncepcja aby zbadać oddziaływanie preparatów homeopatycznych tych pierwiastków. O miedzi wiadomo, że jest dla podgrupy białek prionopodobnych (NADH-oksydaz) anteną sygnałów synchronizujących z otoczenia.³



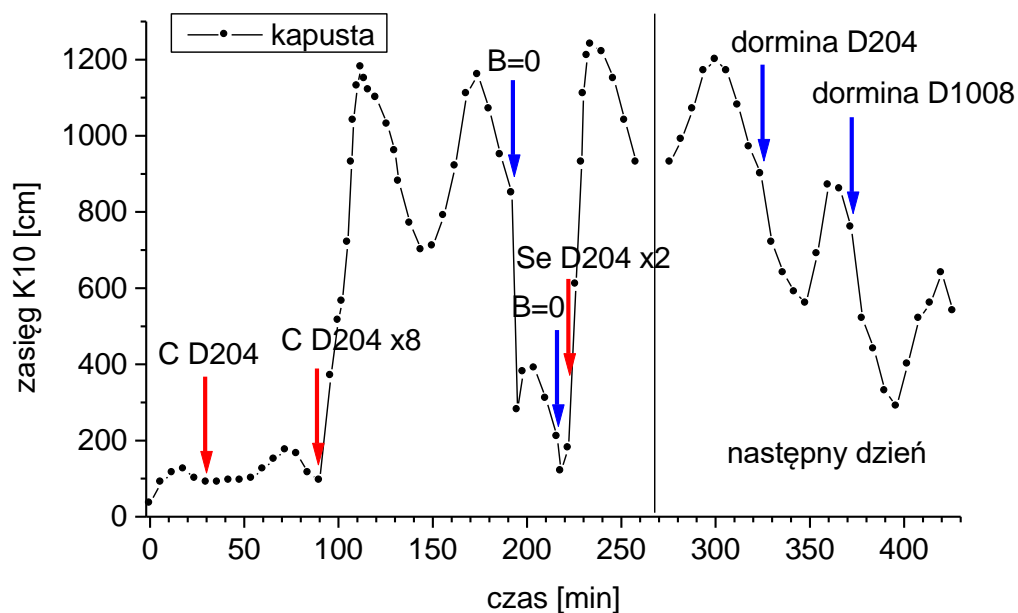
Rys. 6 Kinetyka intensywności promieniowania cząstek pola torsyjnego z potłuczonego liścia kapusty. Liść wcześniej przeleżał dwa dni w zamrażarce. Sygnał przenoszony do próbki w ciągu czasu 60s. Strzałkami zaznaczone momenty kiedy do kapusty zbliżano na 2min preparaty homeopatyczne miedzi D996 i D204. Pozostałe oznaczenia jak na rys. 2.

Jak można było się spodziewać, preparat homeopatyczny miedzi powinien zaburzać fazę cyklu zegara prionowego. I rzeczywiście. Zbadany najpierw silniejszy preparat miedzi D1008 zresetował fazę zegara, a później słabszy preparat D204, zrobił to samo. Może zastanawiać dlaczego liść zamrożono. To już zupełnie inny temat, dotyczący zagadnienia, czy jedzone surowe owoce wpływają mobilizująco na nasze mechanizmy obronne i naprawcze. Wyznawcy żywienia się surową dietą uważają, że będą dłużej żyli. W świetle korzystnego promieniowania z miążdżonych komórek roślinnych miałyby to jakiś sens. Doświadczenie to odpowiada jednak na inne pytanie, czy mrożonki miałyby podobne działanie naprawcze jak owoce surowe. Powyższy wynik pokazuje, że zamrożone, a później rozmrożone rośliny potrafią być równie sprawne w emisji promieniowania śmierci jak surowe.



Rys. 7. Kinetyka intensywności promieniowania cząstek pola torsyjnego z potłuczonego liścia kapusty. Sygnał przenoszony do próbki w ciągu 30s. Strzałkami zaznaczone momenty kiedy do kapusty zbliżano na 2min preparaty homeopatyczne cynku D204 i selenu D1008. Pozostałe oznaczenia jak na rys. 2.

Wyniki z rys. 7 pokazują, że cynk ma podobną rolę w białku prionopodobnym. Preparat cynku resetuje zegar podobnie jak preparat miedzi. Słuszne jest więc wiązanie aktywności miedzi i cynku w nazwie: enzymy miedziowo-cynkowe. Ale nam chodzi o coś więcej. Chcielibyśmy zintensyfikować biologiczną reakcję jądrową. Dokonuje tego preparat selenu bez resetowania zegara. Na maksimum musimy poczekać, nie następuje resetowanie zegara. Ciekawe że podwyższona aktywność uzyskana przez dwuminutowe działanie promieniowaniem cząstek pola torsyjnego z sąsiadującego preparatu, utrzymuje się następnego dnia.



Rys. 8. Kinetyka intensywności promieniowania cząstek pola torsyjnego z potłuczonego liścia kapusty. Sygnał przenoszony do próbki przez 5s. Strzałkami zaznaczone momenty kiedy do kapusty zbliżano na 2min preparaty homeopatyczne węgla D204, węgla D204 wzmocnionego pod względem zasięgu promieniowania ośmiokrotnie i selenu D204 wzmocnionego dwukrotnie (czyli D1008). Dodatkowe oznaczenia B=0 - ekspozycja na obniżone ziemskie pole magnetyczne. Dormin - dormina - ekstrakt z cebulek narcyza *Narcissus tazetta* będącego inhibitorem NADH-oksydazy arNOX. ⁵ Pozostałe oznaczenia jak na rys. 2.

Na rys. 8 mamy kilka wyników badań. Należało sprawdzić na ile specyficzne jest działanie preparatu homeopatycznego selenu. Dlatego dla porównania użyty został preparat homeopatyczny węgla. Przy potencji D204 nie daje on znaczącego efektu. Natomiast przy takim samym preparacie ale o zasięgu promieniowania ośmiokrotnie większym, jakiego nie stosuje się w lekach homeopatycznych, sygnał został wzmocniony. Chodzi więc o jakiś efekt niespecyficzny. Tu należy wspomnieć, że zasięgi produkowanych komercyjnie leków homeopatycznych zmieniają się jedynie w zakresie od 2m do 25m, mniej więcej tak, jak wykres funkcji pierwiastka kwadratowego w zależności od potencji, a nie liniowo. Użyty preparat węgla promieniował na 100m.

Podczas podwyższonej aktywności spowodowanej mocnym preparatem węgla sprawdzony został wpływ obniżenia ziemskiego pola magnetycznego. Okazuje się, że wobec zwiększonej sztucznie aktywności obniżone pole nie tylko resetuje zegar, ale też obniża aktywność enzymu do poziomu konstytutywnego. Kiedy obniżenie pola magnetycznego zastosujemy przy konstytutywnym poziomie aktywności enzymu, jak było w przykładzie na rys. 2, aktywność nie ulega obniżeniu. Spośród badanych przeze mnie około dwudziestu preparatów obniżających aktywność białka prionopodobnego kapusty, żaden nie zademonstrował obniżenia aktywności poniżej poziomu konstytutywnego. A taki by się przydał do obniżenia aktywności NADH oksydazy związanej ze starzeniem.

Co z osobami, u których wystąpiła poszczepienna aktywność prionowa?

A teraz przejdźmy do zagadnienia szczepionek COVID19, co do których już wiemy z poprzedniej publikacji ¹, że po ich zastosowaniu występuje tak silna aktywność białek prionopodobnych, że powstaje zjawisko paranormalne przyciągania do ciała osoby zaszczepionej żelaza i metali nieżelaznych. Osoby zaszczepione, kiedy uświadamiają sobie następstwa poddania się eksperymentowi medycznemu, przerażone są zarówno tym paranormalnym efektem, jak też szkodami zdrowotnymi, które poniosły. Pytają co zrobić? Jak temu zaradzić? Wiele takich osób zwraca się do mnie o pomoc.

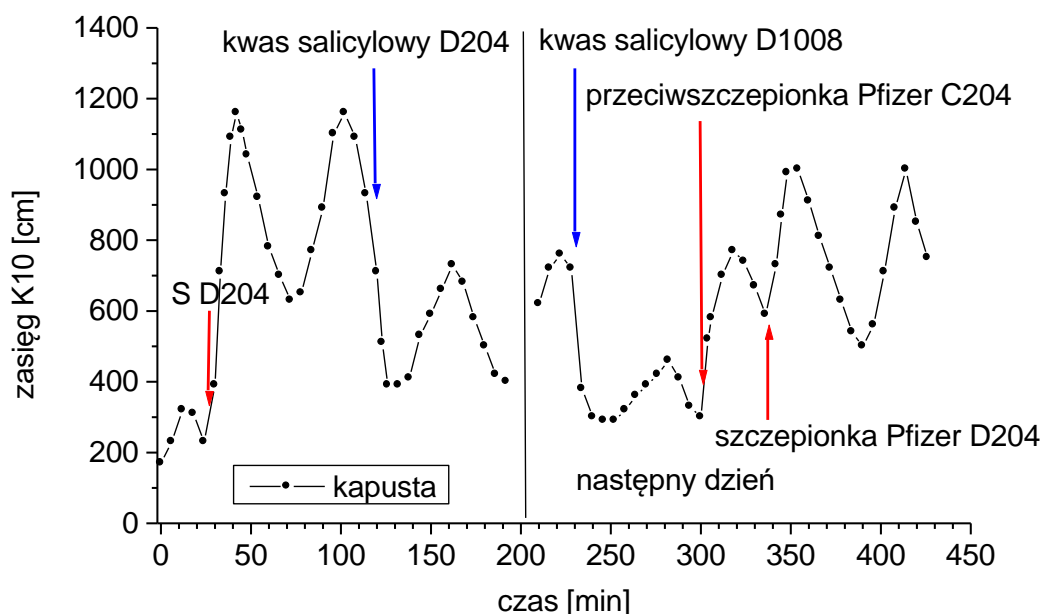
Jednym z głównych wynalazków twórców szczepionki COVID19 jest uruchomienie aktywności prionowej. Czy chodzi tu o wzmocnienie aktywności występującego w naszym ciele białka prionopodobnego, czy też aktywność ta pochodzi od białka kolca (spike) wirusa albo wewnętrznego wirusowego białka prionopodobnego, na razie tego nie wiemy.

Z drugiej strony wykorzystanie białek prionopodobnych oznacza też możliwość ich zdalnego włączania, będącego realizacją ultranowoczesnej broni biologicznej z włącznikiem i wyłącznikiem. A przy tym broń taką można też zaliczyć do powszechnie obecnych chorób cywilizacyjnych, które w USA nazywane są chorobami z dobrobytu. Im ktoś bogatszy tym bardziej na nie podatny. Nasze bogactwo i cywilizacja wiążą się z pułapką niekontrolowanego wzrostu technogennych pól torsyjnych. Kto zakupił do swojego otoczenia więcej nadajników mikrofalowych, lub dostał w prezencie od firm telekomunikacyjnych, ten ma bardziej zaktywowane białko prionowe i białka prionopodobne. Możemy więc się spodziewać, że również poszczepienne objawy chorobowe będą u bogatych osób bardziej dotkliwe. Statystycznie oczywiście. Bez względu na rodzaj pobudzenia prionów w interesie osób zaszczepionych, u których powstały różne efekty chorobowe, rozsądne wydaje się maksymalne obniżenie aktywności prionu i białek prionopodobnych. W przypadku szczepionek dotyczy to oczywiście tylko jednego „wynalazku” jakim jest uruchomienie aktywności prionowej, wiemy jednak, że w szczepionkach zastosowano też inne metody manipulacji fizjologią człowieka.

Sprawdźmy, jak działają potencjalne inhibitory białek prionopodobnych - NADH-oksydazy na białko prionopodobne w kapuście, są to na przykład niesterydowe leki przeciwzapalne, czy dormina - skierowana szczególnie przeciwko NADH-oksydazie arNOX.

Jako najprostszy przedstawiciel niesterydowych leków przeciwzapalnych wykorzystany został kwas salicylowy. Z rys. 9 możemy wnioskować, że jest stosunkowo skutecznym inhibitorem zaktywowanego białka prionopodobnego kapusty.

Dormina - inhibitor NADH-oksydazy arNOX, został zastosowany przez małżeństwo J. Morre i D. Morre do spowolnienia efektów starzenia. Ten inhibitor to główna substancja aktywna ekstraktu z cebulek narcyza *Narcissus tazetta*. Substancja ta była już wcześniej stosowana w kosmetykach. Małżeństwo to pokazało stojący za tym inhibitorem mechanizm. Obniża ona aktywność arNOX, której z wiekiem jest coraz więcej, a więc produkuje coraz więcej rodników i sieje coraz więcej zniszczeń w naszym organizmie. Badanie przedstawione na rys. 8 pokazuje inhibicję. Jako, że inhibitor ten okazał się średnio efektywny w stosunku do zaktywowanego białka prionopodobnego kapusty, należy sądzić że arNOX i badane białko prionopodobne nie są tymi samymi białkami.

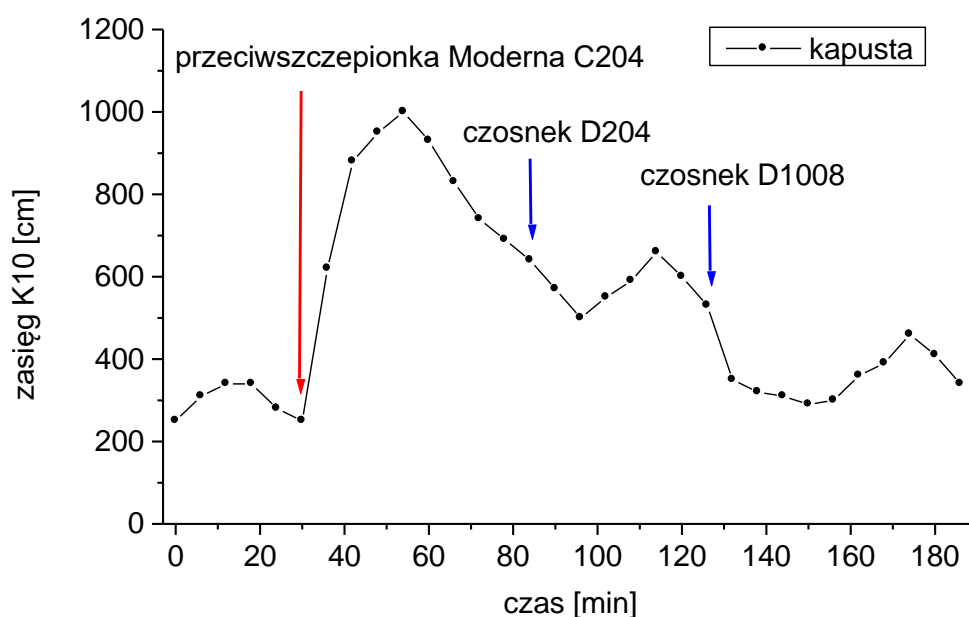


Rys. 9. Kinetyka intensywności promieniowania cząstek pola torsyjnego z potłuczonego liścia kapusty. Sygnał przenoszony na próbki przez 5s. Strzałkami zaznaczone momenty kiedy do kapusty zbliżano na dwie minuty preparaty homeopatyczne siarki D204, kwasu salicylowego D204 i D1008. Zbadano też wpływ homeopatycznego preparatu przeciw szkodliwości szczepionki Pfizer i samej szczepionki Pfizer COVID19. Pozostałe oznaczenia jak na rys. 2.

Komercyjne preparaty homeopatyczne ze szczepionek mające być antidotum na niekorzystne objawy poszczepienne

W badaniu pokazanym na rys. 9 zbadany został homeopatyczny preparat mający zmniejszać niepożądane objawy poszczepienne. Był to preparat homeopatyczny C30 wykonany przez firmę Helios, Anglia, ze szczepionki COVID19 Pfizer. Nie okazał się dobrodziejstwem odnośnie modelowego białka prionopodobnego. Wiemy z artykułu ¹, że osoby zaszczepione, które przyciągają przedmioty metalowe do swojego ciała, mają bardzo zaktywowane białko prionopodobne odpowiadające białku obecnemu w czakramie serca. Trzeba więc tę rozbudowaną aktywność hamować, a nie stymulować. Tymczasem preparat homeopatyczny ze szczepionki COVID19 Pfizer wzmocniony do potencji C210 okazał się stymulować prawie dwukrotnie białko prionopodobne kapusty. Drugim zbadanym przeze mnie preparatem antidotum dla objawów ubocznych od szczepionki, tym razem Moderny, był preparat C19M 2020 VACC 12C, Helios Homeopathic Pharmacy, USA. Po wzmocnieniu potencji z C12 do C204, nastąpił znaczny wzrost aktywności białka prionopodobnego. Przedstawione jest to na rys. 10. Spodziewać się więc można zaostrzenia objawów poszczepiennych po spożyciu tych preparatów. Oznacza to skutek odwrotny do zamierzonego. Z informacji od osoby, która zażywała preparat ze szczepionki COVID19 Pfizer firmy Helios Homeopathic Pharmacy, USA, na objawy niepożądane szczepionki, wiem, że te objawy jeszcze bardziej się pogłębiły. W żadnym wypadku nie mogę polecać takich preparatów jako antidotum na objawy poszczepienne, w dużej części związane z nadaktywnością prionową.

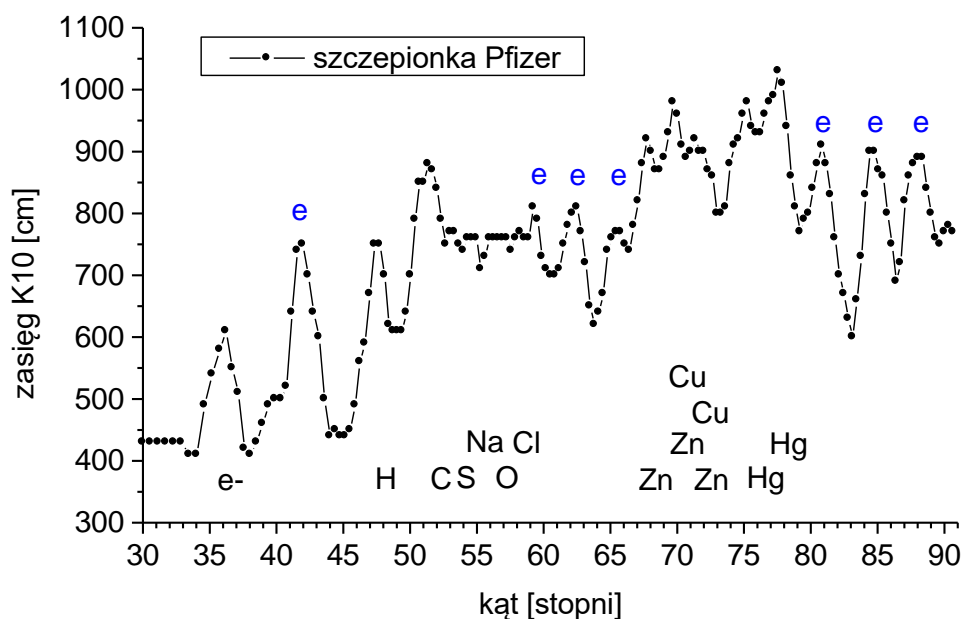
Skoro komercyjny preparat homeopatyczny ze szczepionki, z definicji o działaniu przeciwnym - C30, mający przesunięcie o sześć Kategorii względem kopii nalewki pierwotnej, działa niekorzystnie na równowagę białek prionopodobnych, to powstaje oczywiste pytanie jak działa na białka prionopodobne sama szczepionka. Wykonany z posiadanej szczepionki Pfizer preparat D204 odpowiadający sposobem oddziaływania nalewce pierwotnej, okazał się jeszcze silniej stymulować białko prionopodobne (rys. 9). Mówimy tu o oddziaływaniu na odległość przez dwie minuty, a nie o wprowadzeniu do organizmu. Nie dziwi więc, że szczepionki COVID19 będą bardzo silnie pobudzać białko prionopodobne, które normanie wykazuje pewną aktywność tylko w czakramie serca. Oczywiście staje się, że osoby zaszczepione powinny przyciągać przedmioty metalowe i że może to być test sprawdzający fakt zaszczepienia.



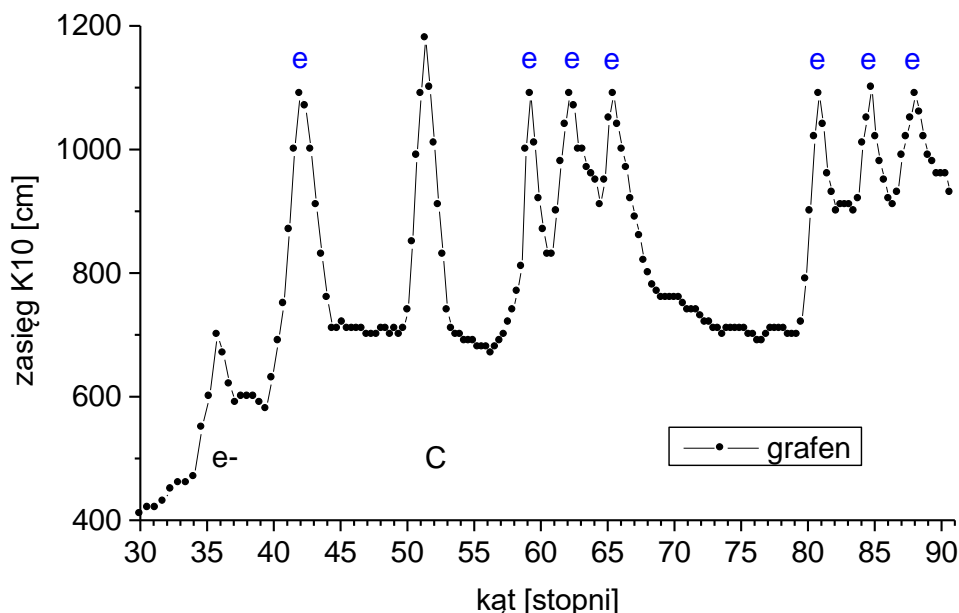
Rys. 10. Kinetyka intensywności promieniowania cząstek pola torsyjnego z potłuczonego liścia kapusty. Sygnał przenoszony na próbki przez 10s. Strzałkami zaznaczone momenty kiedy do kapusty zbliżano na 2min preparaty homeopatyczne antyszczepionki Moderna D204, czosnku D204 i D1008. Pozostałe oznaczenia jak na rys. 2.

Badanie szczepionki COVID19

Co za tym jest takiego w szczepionkach COVID19, co tak silnie aktywuje białka prionopodobne? Sprawdźmy co ujawni spektroskopia cząstek pola torsyjnego. Spektrum przedstawione jest na rys. 11. Wykres został uzyskany z jednej kropli szczepionki.



Rys. 11. Spektrum cząstek pola torsyjnego emitowanych przez szczerpionkę Pfizer COVID19. Oznaczenia: e- - elektrony, H - wodór, C - węgiel, S - siarka, Na - sól, O - tlen, Cl - chlor, Cu - miedź, Zn - cynk, e - sygnał od pierścieni aminokwasów aromatycznych. Oś odciętych - kąąt wiązki padającej względem płaszczyzny łamiącej mierzony w stopniach; oś rzędnych - zasięg promieniowania Kategorii K10 z próbek na wyjściu spektroskopu mierzony w centymetrach.



Rys.12. Spektrum cząstek pola torsyjnego grafenu. Oznaczenia jak na rys. 11.

Na wykresie widzimy sygnały miedzi, cynku, rtęci, pierwiastków biogennych w tym siarki i charakterystyczny dla grafenu układ pików pochodzących od elektronów π . Dla porównania na rys. 12 znajduje się spektrum cząstek pola torsyjnego grafenu o identycznym położeniu charakterystycznych pików. Sód i chlor w szczepionce pochodzą od soli fizjologicznej. Miedź i cynk, jak można domniemywać, mają wspomóc funkcjonowanie białek prionopodobnych. Zastanawiająca jest siarka, która występuje w białkach a nie występuje w niemodyfikowanym RNA. Czyżby miedź i cynk były w białku prionopodobnym w szczepionce? To oczywiście jedynie domniemania związane z interpretacją wykresu spektrum. A może siarka ma tylko aktywować białko prionopodobne?

Do czego służy grafen? Wiemy że wiąże się do powierzchni harmonijki β białek prionopodobnych, tworzących pseudokryształ czy struktury amyloidowe, podobnie jak to czynią nanorurki węglowe i fulereny, wpływając na konformację harmonijki β i ułatwiając tworzenie pseudokryształu.^{6,7} Możemy się spodziewać, że to właśnie grafen, a nie inne obserwowane w szczepionce substancje, jest odpowiedzialny za silne podbicie aktywności enzymów prionopodobnych, a w wyniku stymulowania biologicznej reakcji jądrowej odpowiedzialnej za zjawisko przyciągania metali do ciała.

Zajrzyjmy najpierw co jest widoczne w szczepionce pod mikroskopem. Fotografia obrazu spod mikroskopu znajduje się na rys. 13.

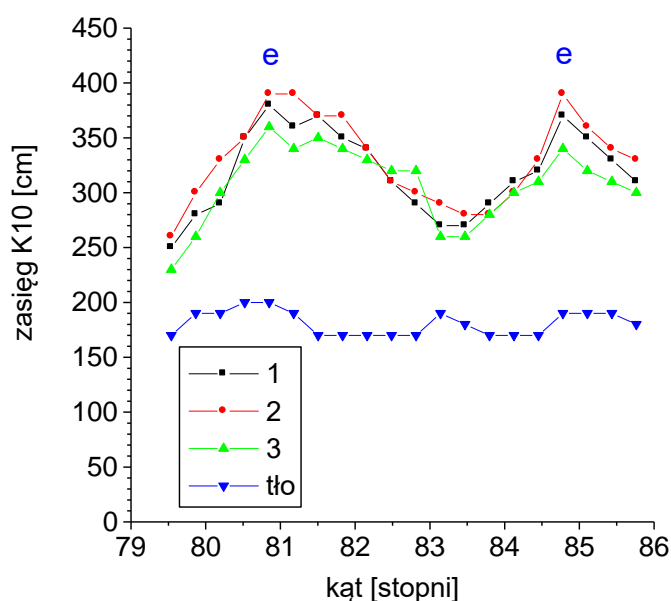


Rys.13. Fotografia mikroskopowa szczepionki Pfizer. Mikroskop Delta Optical Evolution 100, obiektyw 40x, kamera DLT-Cam PRO 2MP USB 2.0.

Ale to nie takie proste. Tylko pozornie mieszkamy w kraju wysoko rozwiniętym. Kiedy potrzebujemy czegoś specjalistycznego, nie kupimy tego na miejscu, musimy to sprowadzać z USA lub Niemiec na indywidualne zamówienie, a lepiej na instytucję naukową, a trwa to tygodniami. Do tego specjalistycznego asortymentu dołączyły jakiś czas temu zwykłe szkiełka mikroskopowe. Te które znajdują się w polskich magazynach, są potwornie brudne. Są produkcji chińskiej i nie przeszkadza temu, że firmowane są na przykład niemieckim producentem. Kupione przeze mnie na bieżąco do zbadania szczepionki szkiełka nakrywkowe trzech firm okazały się tak brudne, że widoczne to było gołym okiem. Prawdopodobnie chodzi o pył szklany powstający podczas cięcia. Nie rozpuści się w rozpuszczalnikach, nie wystarczy więc szybek przemyć, ale trzeba je szorować. Tak zwana robota głupiego i nie daje pełnego sukcesu. Piszę o tym dlatego, że każdy, kto posiada średniej klasy mikroskop optyczny może samodzielnie sprawdzić, że w szczepionkach są

wtręty ziarniste, których nie ma tam prawa być, jako że szczepionki, podobnie jak leki, muszą być filtrowane przez filtry bakteriologiczne conajmniej 0,45 μm a raczej 0,22 μm . Trzeba więc uważać, aby nie wpaść w pułapkę i uznać tego co na brudnych szkiełkach jako zawartości szczepionek, czy zawartości innych preparatów medycznych.

Dla upewnienia się, że widoczne na zdjęciu rys. 13 ziarna o wielkości około 2 μm to grafen, wykonałam dla trzech z nich uproszczoną spektroskopię w zakresie dwóch charakterystycznych pików grafenu (rys. 14). Charakterystyczne piki potwierdzają, że mamy do czynienia z grafenem. Równie istotny jest pomiar z obszaru kontrolnego K, w którym nie ma albo prawie nie ma grafenu. Oznacza to, że w preparacie nie ma w znaczącej ilości mniejszych fragmentów grafenu, a przecież oczekiwać by można grafenu o wielkości 10nm - 100nm, który jest dla organizmów mniej szkodliwy.⁸

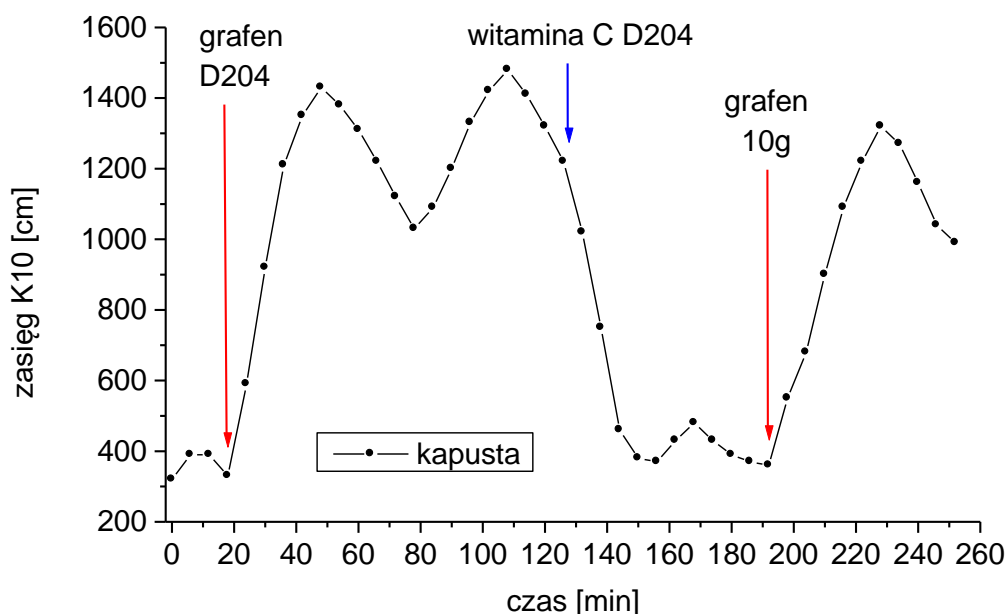


Rys. 14. Spektra poszczególnych obiektów 1, 2, 3 z rys. 13. Dwa charakterystyczne piki dla spektrum grafenu z rys. 12 potwierdzają, że zaznaczone obiekty są grafenem. Sygnał pobrany z obszaru tła (K) nie wykazuje znaczącej ilości grafenu.

Z powyższych informacji wynika, że obecne w szczepionce wtręty ciała stałego zostały dodane w sposób zamierzony. Wiemy z badań hiszpańskich⁹, że w szczepionkach COVID19 firmy Pfizer wykryto duże ilości grafenu, czy bardziej precyzyjnie tlenku grafenu. Ale chodzi tu o modyfikację grupami karboksylowymi, wodorotlenowymi i epoksydowymi, powstałych podczas łamania grafenu rodników węglowych. Nie jest to podręcznikowy tlenek. Taka modyfikacja powstaje częściowo spontanicznie, ale często modyfikację tę wprowadza się odpowiednimi reakcjami chemicznymi. Ostatecznie tlenek grafenu nie różni się tak wiele od produkowanego w obecności wilgotnego powietrza zwykłego grafenu.

Jakie jest jednak biologiczne oddziaływanie grafenu w aspekcie związanego ze szczepionką białka prionopodobnego? Na rys. 15 przedstawiony jest wykres aktywacji prionu kapusty przez grafen. Występuje bardzo silna aktywacja, zarówno przez preparat homeopatyczny D204 grafenu, jak i przez postawiony w odległości 2cm grafen w buteleczce (ok. 10g). Z literatury natomiast wiemy, że pod wpływem grafenu wytwarzany jest w

organizmie rodnik ponadtlenny i nadtlenek wodoru^{10, 11}, co wskazuje na oddziaływanie z białkami prionopodobnymi, dla których rodnik ponadtlenny jest podstawowym produktem biochemicznym, a dalej powstaje nadtlenek wodoru poprzez działanie katalazy, ratującej organizm przed uszkodzeniami od rodnika ponadtlennego. Grafen aktywuje szlak kinazowy PI3K/AKT¹², z czego możemy domyślać się że następuje to przez białko prionowe PrP^c, będące głównym receptorem dla tego szlaku kinazowego.

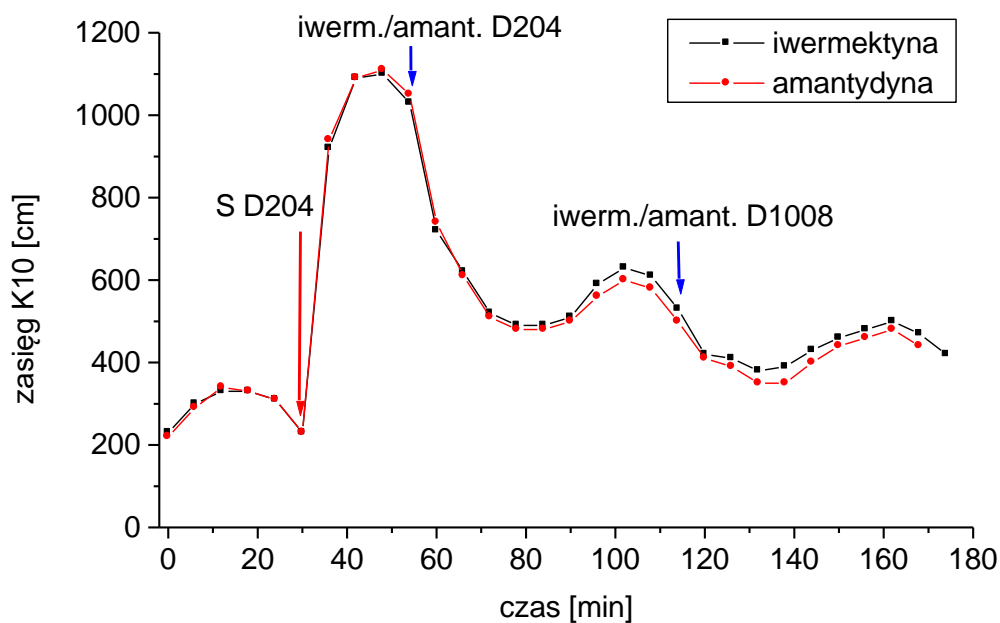


Rys. 15. Aktywacja prionu kapusty przez grafen. Kinetyka intensywności promieniowania cząstek pola torsyjnego z potłuczonego liścia kapusty. Sygnał przenoszony na próbki przez 10s. Strzałkami zaznaczone momenty, kiedy do kapusty zbliżano na 2min preparaty homeopatyczne grafenu D204, witaminy C D204, oraz grafenu w postaci chemicznej. Pozostałe oznaczenia jak na rys. 2.

Wiedząc że grafen wiąże się silnie do wielu białek prionopodobnych, nie dziwi fakt, że do najważniejszych świadomie wykorzystanych w szczepionce właściwości grafenu należy stymulacja aktywności prionów.

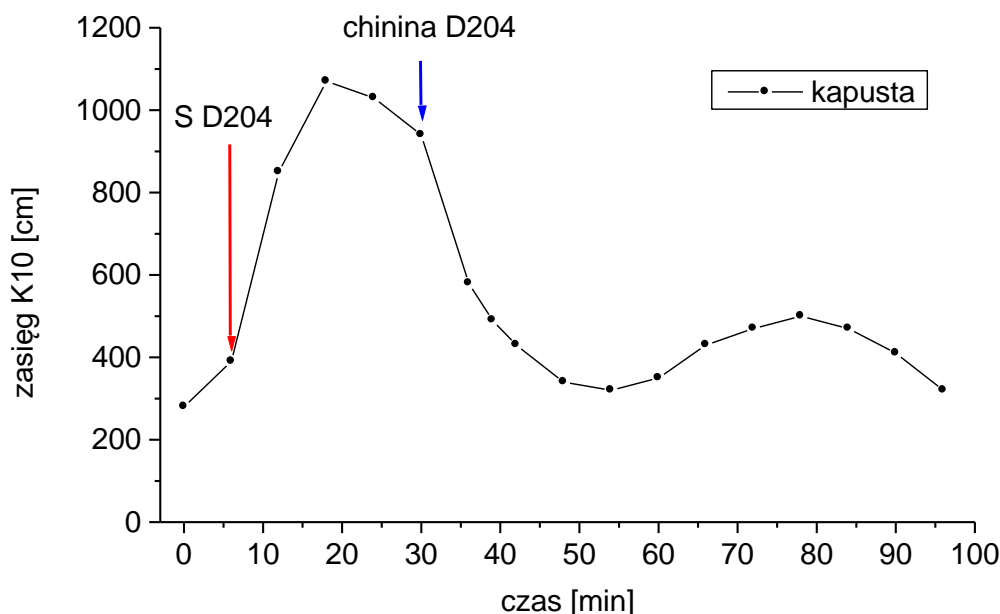
Leki przeciw SARS-cov2

Sprawdźmy teraz na ile leki skuteczne w zwalczaniu wirusa SARS-cov2 posiadają właściwości antyprionowe. Na rys. 16. przedstawiono próbę inhibicji zaktywowanego homeopatyczną siarką białka prionopodobnego kapusty przez preparaty homeopatyczne iwermektyny i amantadyny. Obydwa te leki okazały się dosyć skutecznymi inhibitorami białka prionopodobnego.



Rys. 16. Dwie kinetyki intensywności promieniowania cząstek pola torsyjnego z potłuczonego liścia kapusty. Sygnał przenoszony na próbki przez 10s. Strzałkami zaznaczone momenty kiedy do kapusty zbliżano na 2 min preparaty homeopatyczne siarki o potencji D204, a następnie leków przeciw SARS-cov2: iwermektyny i amantadyny o potencji D204 i D1008. Pozostałe oznaczenia jak na rys. 2.

Następnym dobrze znanym lekiem jest chlorohydroksychinina. Z braku pod ręką tego leku sprawdzona została chinina. Wykres na rys. 17 pokazuje, że to również dobry inhibitor białka prionopodobnego.



Rys. 17. Kinetyka intensywności promieniowania cząstek pola torsyjnego z potłuczonego liścia kapusty. Sygnał przenoszony na próbki przez 10s. Strzałkami zaznaczone momenty, kiedy do kapusty zbliżano na 2 min preparaty homeopatyczne siarki o potencji D204 a następnie chininy w potencji D204. Pozostałe oznaczenia jak na rys. 2.

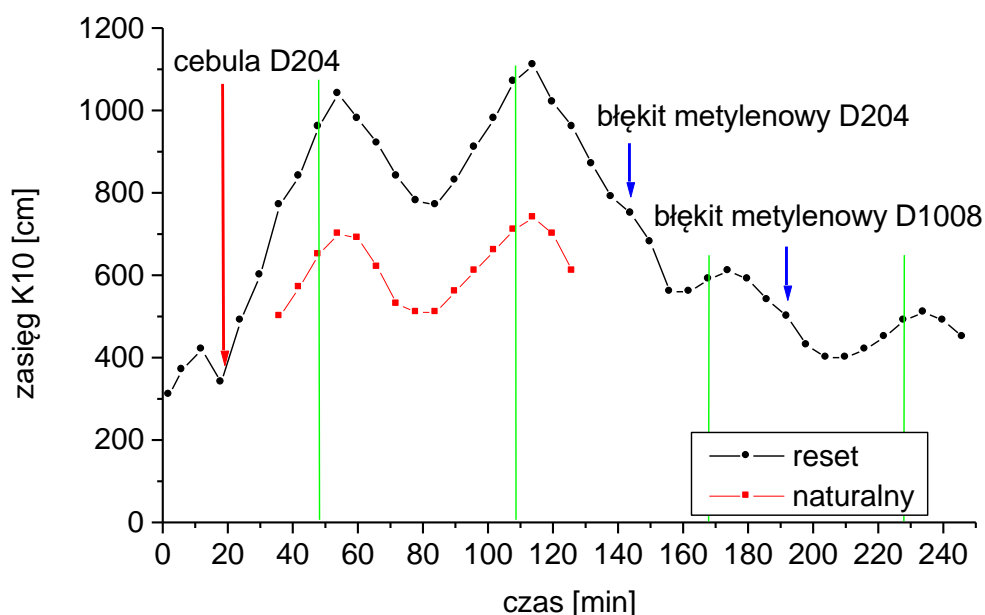
Biorąc pod uwagę efektywność powyższych leków w leczeniu choroby COVID-19, możemy wnioskować, że wirus SARS-cov2 jako narzędzie ataku wykorzystuje białko prionopodobne, którego zablokowanie jest decydujące w leczeniu chorych. Z tego możemy oczekiwać, że wiele innych leków przeciwpriionowych może być zastosowane przeciw temu wirusowi. W badaniu rys. 10 wykazano efekt antypriionowy czosnku, z którego zrobiono potencie homeopatyczne D204 i D1008. Czosnek, uważany jest przez Rosjan za mający znaczną skuteczność przeciwko SARS-cov2. Warto też spojrzeć na działanie witaminy C na rys. 15. Mimo że wiążemy ją zwykle z działaniem antyoksydacyjnym, jej preparat homeopatyczny oddziałuje na odległość hamująco na białko prionopodobne kapusty i to silnie.

Zwykle ogromnym problemem dla szeroko pojętych leków przeciwpriionowych jest ich słaba dostępność do miejsca, w którym ukryły się priony, czy białka prionopodobne. Jest to najczęściej układ nerwowy chroniony przez barierę krew-mózg. W ten sposób obiecujące antypriionowe leki chemiczne działają w hodowlach komórkowych, a nie działają w przypadku człowieka lub myszy w celu leczenia choroby prionowej, choroby Parkinsona czy choroby Alzheimera, gdzie zarówno synukleina, jak też złogi amyloidowe to białka prionopodobne. Przy stosowaniu leków homeopatycznych ten problem wydaje się znacznie mniejszy, jako że białka prionopodobne są bezpośrednimi receptorami cząstek pola torsyjnego i to bardzo czuły. Widzimy to w wykorzystanym zjawisku oddziaływania na odległość, na białko prionopodobne kapusty, leków homeopatycznych o sile promieniowania cząstek pola torsyjnego leżącej w zakresie stosowanym dla leków komercyjnych. Leki homeopatyczne posługujące się cząstkami pola torsyjnego wydają się więc idealnym kandydatem w leczeniu szeroko pojętych chorób prionowych. Do tych bardziej znanych

należą: choroba Creutzfeldta Jakoba, choroba Parkinsona, choroba Alzheimer, choroba Huntingtona, cukrzyca i nowotwory.

Synchronizacja z naturalnym zmiennym polem torsyjnym

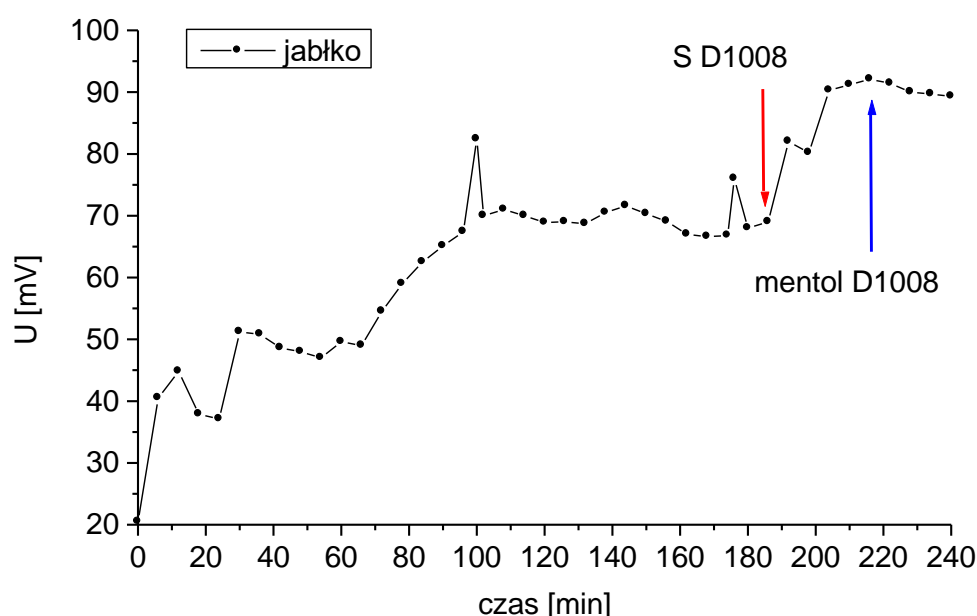
Szczególnie ciekawą właściwość wykazuje preparat homeopatyczny z cebuli. Przywraca on naturalną fazę cyklu białka prionowego po jej zaburzeniu. Przedstawione jest to na rys. 18. Kolorem czerwonym zaznaczona jest naturalna krzywa promieniowania z główki kapusty, kolorem czarnym krzywa po potłuczeniu kapusty z maksimum w dwunastej minucie od potłuczenia. Dostarczenie sygnału homeopatycznego z cebuli dokonuje wyrównania cyklu względem cyklu z nienaruszonej główki kapusty. Zjawisko zostało sprawdzone kilkakrotnie. W dalszej części wykresu wypróbowano sygnał homeopatyczny z błękitu metylenowego. Błękit metylenowy w postaci chemicznej jest kolejnym z wypróbowanych leków na wirus SARS cov-2.¹³ Pod wpływem preparatu homeopatycznego z tego barwnika nastąpiło obniżenie aktywności białka prionopodobnego. Podobne działanie synchronizujące jak cebula wykazuje preparat homeopatyczny z jabłka (wykorzystano jabłko z gatunku Szampion), jak też majeranek. Na to zestawienie, moja koleżanka Benia szybko dodała: Brakuje tylko wątróbki...



Rys. 18. Kinetyki intensywności promieniowania cząstek pola torsyjnego z potłuczonego liścia kapusty - czarne kółka i z nienaruszonej główki kapusty - czerwone kwadraty. Sygnał przenoszony na próbki przez 10s. Strzałkami zaznaczone momenty, kiedy do kapusty zbliżano na 2 min preparaty homeopatyczne: cebuli w potencji D204, a następnie błękitu metylenowego w potencjach D204 i D 1008. Pionowe zielone linie wyznaczają jednogodzinny cykl zsynchronizowany z południem astronomicznym. Maksima aktywności prionowej nienaruszonej główki kapusty są o kilka minut opóźnione względem tego cyklu. Pozostałe oznaczenia jak na rys. 2.

Elektroniczny pomiar aktywności prionów

Biologiczna reakcja jądrowa, mimo że niskoenergetyczna, wprowadza spore zaburzenie w fizjologii organizmu żywego. Wiemy, że zarówno białko prionowe, jak i NADH-oksydazy zmieniają potencjał redoks w komórce, dzięki czemu następuje cykliczne zrywanie i zawiązywanie wiązań disiarczkowych pomiędzy białkami, umożliwiające wzrost usztywnionych cytoszkieletem komórek.¹⁴ Wobec tego warto było pokusić się o pomiar zmian potencjału redoks. Wykorzystany został pomiar potencjału redoks na powierzchni skórki jabłka (Szampion) mierzony elektrodą niklową, względem miąższu jabłka, do którego przez klucz elektrochemiczny została podłączona elektroda kalomelowa, jako elektroda odniesienia. Wynik znajduje się na wykresie 19. W potencjale redoks zaznacza się naturalny cykl, który wynosi ok. 78min.



Rys. 19. Kinetyka zmian potencjału redoks na powierzchni skórki jabłka Szampion. Potencjał mierzony był na powierzchni skórki z użyciem elektrody niklowej względem kalomelowej elektrody odniesienia połączonej kluczem elektrolitycznym z miąższem jabłka. Strzałkami zaznaczone momenty kiedy do jabłka zbliżano na 2 min preparaty homeopatyczne siarki o potencji D1008, a następnie mentolu o potencji D1008. Oś odciętych - czas liczony w minutach; oś rzędnych - różnica potencjałów między elektrodą niklową i kalomelową.

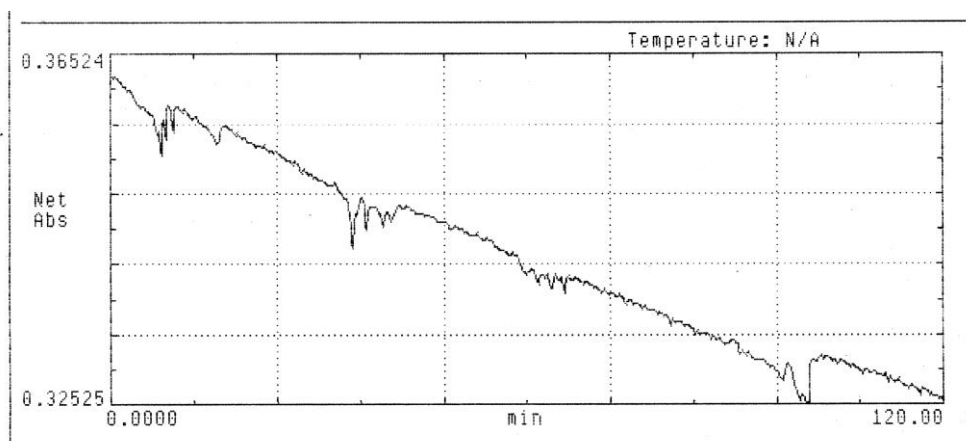
Możliwości biochemicznych pomiarów przedstawionych wyżej zjawisk

Jako że nie istnieją obecnie w świecie cywilnym mierniki elektroniczne cząstek pola torsyjnego, powyższe wyniki uzyskane zostały głównie z użyciem techniki typu kinezyjologicznego opisanego w artykule¹⁵ dotyczącym spektroskopii cząstek pola torsyjnego. Jednak aktywność białek prionopodobnych możemy badać metodami biochemicznymi z użyciem klasycznej spektroskopii w ultrafiolecie, a więc standardowymi spektrofotometrami UV-VIS wykorzystywanymi w biochemii czy biologii molekularnej. Oznacza to, że

przedstawione powyżej zjawiska zdalnego oddziaływania preparatów homeopatycznych możemy powtórzyć i rozwinąć z użyciem pomiaru spektrofotometrem UV-VIS. Same białka prionopodobne ze względu na ich unikalność możemy w sposób stosunkowo prosty, z punktu widzenia biotechnologicznego, wyizolować od pozostałych grup białek. Są one wyjątkowo odporne termicznie i posiadają miedź. Wzbogacenie białek odpornych na temperaturę przeprowadza się przez ogrzanie ekstraktu komórkowego lub jakiejś frakcji wstępnego oczyszczania do 65°C. Podczas gdy białka mało odporne termicznie zdenaturują, tworząc coś w rodzaju jajecznicy i opadną na dno próbek po wirowaniu, niezmiennione białka prionopodobne pozostaną w roztworze. Kiedyś taki etap izolacji wykorzystałam dla białka prionopodobnego - miedziowo-cynkowej dysmutazy ponadtlenkowej. Obecność miedzi w białku umożliwia jego prawie jednoetapową izolację z użyciem kolumny chromatograficznej z immobilizowaną miedzią. W pewnych warunkach białka te gubią część miedzi, a więc mają powinowactwo do złoża chromatograficznego zawierającego na swej powierzchni dwuwartościowe jony miedzi. Trochę większym problemem jest rozizolowanie między sobą różnych białek prionopodobnych, jednak w wielu sytuacjach, kiedy używamy określonych tkanek lub komórek, mamy dominację jednego typu białka prionopodobnego.

Ze względu na inne priorytety, nie przewiduję obecnie prowadzenia tego typu badań, jednak zachęcam osoby pracujące w dziedzinie biologii molekularnej i biochemii do zajęcia się tym arcyciekawym obszarem biologii molekularnej z użyciem będącej w dyspozycji tych osób aparatury.

Poniżej przykład biochemicznego pomiaru aktywności jednego z białek prionopodobnych, które przeprowadziłam w 2007 roku. Ze względu na stosunkowo prostą procedurę częściowej izolacji wykorzystałam białko CNOX z mleka krowiego, które należy do podgrupy NADH-oksydaz. Procedura ta opisana została przez D. J. Morre i wsp w ich publikacji⁴ i głównie polega na frakcjonowanym wirowaniu mleka krowiego (mleko prosto od krowy) Pewna zawartość zanieczyszczającej aktywności cytochromów z mitochondriów w badaniu enzymatycznym blokowana była cyjankiem potasu. Na rys. 20 przedstawiony został uzyskany przeze mnie wykres kinetyki białka CNOX z mleka krowiego.



Rys. 20. Kinetyka białka prionopodobnego CNOX z mleka krowiego. Widoczne w przybliżeniu 24 minutowe cykle. W kuwecie pomiarowej umieszczone były: 200µl preparatu z mleka, NADH, KCN, bufor, woda do 1200µl. Spektrofotometr UV-VIS Beckman DU-60. Oś odciętych - czas liczony w minutach; oś rzędnych - absorbancja przy długości fali 340nm

Uzyskane zmiany absorbancji są bardziej wyraziste niż w artykułach małżeństwa J. Morre i D. Morre, którzy dla określenia cyklu NADH-oksydaz dokonywali różniczkowania

przebiegu absorpcji. Prawdopodobnie wiąże się to z wpływem docierających do kuwetki pomiarowej cząstek pola torsyjnego wynikającym z miejsca, w którym znajduje się laboratorium i wpływem materiałów konstrukcyjnych spektrofotometrów UV-VIS.

Komercyjny lek homeopatyczny Sulfur

Z powyższych doświadczeń wynika, jak ważną rolę odgrywa informacja homeopatyczna siarki (Sulfur) dla organizmów żywych. W kilku powyższych doświadczeniach, wykorzystana do zwiększenia aktywności białka prionopodobnego. To bardzo popularny lek homeopatyczny. Nie tylko aktywuje on białka prionopodobne, do wytwarzania biologicznej reakcji jądrowej, ale też do wytwarzania rodnika ponadtlenkowego, ważnego dla proliferacji (rozmnażania) komórek żywych. Obecność rodników ponadtlenkowych w określonym przedziale stężeń stymuluje komórki do podziałów, tkanka może rosnąć. Gdy rodników jest za dużo, następuje stres oksydacyjny blokujący wiele funkcji komórkowych, a przy jeszcze większych stężeniach rodników następuje śmierć komórek. To wiemy z wielu publikacji z dziedziny biologii molekularnej. Spójrzmy na zdjęcie rys. 21. Pokazuje ono hodowlę fasolki przy kolejno coraz wyższych zasięgach promieniowania preparatu Sulfur. Dla stosunkowo niskich zasięgów promieniowania cząstek pola torsyjnego mamy duże przyspieszenie wzrostu, około 3-krotne. A przy wyższych mamy tylko małe przyspieszenie. Dla jeszcze wyższych zasięgów nie objętych tym doświadczeniem wzrost roślinek był jeszcze niższy niż dla wody. Jako że preparaty homeopatyczne mogą oddziaływać na odległość, duże zasięgi promieniowania mogłyby zaburzyć realne oddziaływania roślinek poddanych preparatom o najmniejszym zasięgu. Dlatego badanie wzrostu z dużymi zasięgami promieniowania pola torsyjnego zostało przeprowadzone osobno. Doświadczenie to przeprowadziłam ok. 8 lat temu w laboratorium położonym na dobrym radiestezyjnie miejscu.



Rys. 21. Hodowla fasolki karłowatej Electra przy różnym zasięgu promieniowania preparatu homeopatycznego w poszczególnych szalkach Petriego. Szalka nr 1 to hodowla na wodzie z kranu, w kolejnych pięciu szalkach zasięg promieniowania cząstek pól torsyjnych zmienia się pomiędzy nimi o czynnik 2. Zasięg promieniowania K11: szalka 2 - 50cm, szalka 3 - 100cm, szalka 4 - 200cm (preparat ten odpowiada leкови homeopatycznemu Sulfur 5CH firmy Boiron), szalka 5 - 400cm, szalka 6 - 800cm.

Innym przykładem oddziaływania na wzrost roślin są doświadczenia z podlewaniem rzodkiewek preparatem Sulfur, gdzie autorzy publikacji uzyskali trzykrotny wzrost średnicy rzodkiewek względem hodowli kontrolnej.¹⁶ Moja próba powtórzenia takiego doświadczenia nie w pełni się powiodła. Osoba podlewająca grządkę preparatem Sulfur, w pewnym

momencie zaczęła też podlewać nim grządkę kontrolną, aby mieć jak najwięcej dużych rzodkiewek.

Sygnal cząstek pola torsyjnego miedzi

W doświadczeniu z rys. 6 sygnał homeopatyczny miedzi spowodował zresetowanie zegara białka prionopodobnego kapusty, bez zmiany aktywności prionowej. Nie zawsze tak będzie. Białko prionopodobne kapusty będące czujnikiem różnego rodzaju stresów, jest wygodne w badaniu ze względu na szerokie spektrum oddziałujących sygnałów homeopatycznych. Nie znaczy jednak, że jest tożsame z grupą białek prionowych u człowieka. Przeprowadzone przeze mnie badanie czakramu serca wykazało, że pobudzenie czakramu serca sygnałem miedzi zwiększa aktywność białka prionopodobnego w tym czakramie. W doświadczeniu tym krążek miedzi o wadze 50g był trzymany w dłoni przez 30min. Po tym czasie aktywność białka prionopodobnego czakramu serca mierzona jako produkcja neutronów i WIMP-ów (z użyciem spektroskopu cząstek pola torsyjnego) wzrosła około 2,5-krotnie. Istnieją przesłanki, że białko prionopodobne czakramu serca to znane szeroko białko prionowe PrP^c. Zarówno białko prionowe¹⁷, jak i czakram serca, mają najwyższą aktywność około godziny dwudziestej pierwszej. Druga przesłanka to przenoszenie białka prionowego z jednej osoby na drugą. Właściwości takiej nie zauważono dla pozostałych białek prionowych. Jednocześnie znanym faktem jest przenoszenie aktywności czakramu serca powodującej przyciąganie do ciała łyżeczek i innych przedmiotów od osoby mającej takie naturalne zdolności do osoby, która z nią przebywała. Podobny efekt zarażania się zjawiskiem przyciągania łyżeczek następuje od osoby zaszczepionej preparatem COVID19. To oczywiście na razie tylko przesłanki, że w czakramie serca mamy reprezentowane białko PrP^c. Z drugiej strony wiemy, że białko PrP^c uruchamia szlaki sygnalizacyjne Pi3K/AKT/mTOR i p38 zarządzające ważnymi życiowo procesami komórkowymi jak: proliferacja, różnicowanie, angiogeneza, czy programowana śmierć komórki.^{18, 19} Wiemy też, że te szlaki sygnalizacyjne regulują leczenie ran, a z drugiej strony aktywują tworzenie nowotworów. To jednak temat na inny artykuł. Teraz jednak możemy wrócić do sygnału miedzi. Jony miedzi są korzystne w leczeniu ran nie tylko ze względu na działanie antyseptyczne ale przez stymulację szlaków kinazowych PI3K i ERK przyspieszającą leczenie.²⁰⁻²² Informacja miedzi może być lekiem, ale nie zawsze tak jest. Z jednej strony mamy korzystne działanie magnetoterapii i manetostymulacji przy leczeniu ran, oparzeń i złamań na przykład przyspieszone leczenie złamań przy częstotliwościach 45Hz i 75Hz, gdzie sygnał miedzi pochodzi z uzwojenia cewek wytwarzających pole magnetyczne.²³ Jednak nie wszystkie częstotliwości są korzystne. Przykładowo przy ok 7,5Hz następuje uaktywnianie osteoklastów i rozluźnianie struktury kości prowadzące do ich degeneracji deformacji i mechanicznych uszkodzeń.²⁴ Wydaje się, że te właśnie oddziaływanie na osteoklasty, wykorzystano w ostatnich latach w eksperymentach z bronią mikrofalową na sporej grupie ludzi, również w Polsce. Z kolei częstotliwość 50Hz od sieci elektrycznej może prowadzić do osteoporozy. Dane epidemiologiczne związane z rozwojem elektryfikacji i sieci telekomunikacyjnych pokazują że nastąpiły trzy coraz wyższe fale zachorowań na nowotwory: po elektryfikacji, po stworzeniu sieci nadajników telewizyjnych i po stworzeniu sieci telefonii komórkowej.²⁵ We wszystkich trzech przypadkach mamy duży komponent miedzi w sygnale. Jest to sytuacja w której nowotwór zachowuje się jak nie zaleczona rana, domagając się pomocy całego organizmu.¹⁸

Podsumowanie

W artykule przedstawiłam wyniki badania białek prionopodobnych, wykorzystując aż cztery metody badawcze. Nie są więc one jakimś trudno uchwytnym zjawiskiem, ale realnym i zadziwiającym fragmentem funkcjonowania naszego organizmu.

Uzyskane wyniki potwierdzają moją wcześniejszą hipotezę że NADH-oksydazy i niewiele albo wcale nie różniące się jako grupa białka prionopodobne, są zegarami kosmicznymi i jednocześnie biologicznymi detektorami informacji przenoszonej na cząstkach pola torsyjnego. Odkrycie to otwiera nową przestrzeń badawczą dla poznania oddziaływań leków homeopatycznych, wpływów promieniowania Ziemi, astrologii i wpływów technogennych, w tym nadajników radiowych - na człowieka. Białek prionopodobnych jest w naszym organizmie kilkadziesiąt, niektórzy na podstawie sekwencji prionowej harmonijki beta szacują ich ilość na około dwieście, nie wszystkie muszą być jednak aktywnymi detektorami informacji cząstek pól torsyjnych. Tu oczywiście bardzo ważne będzie powiązanie poszczególnych białek prionopodobnych z konkretnymi szlakami sygnalizacyjnymi w komórce, w tym szlakami kinazowymi.

Silne oddziaływanie leków homeopatycznych na białko prionopodobne na odległość nasuwa możliwość wykorzystania ich do oddziaływania na wymykające się działaniu leków chemicznych priony i białka prionopodobne w różnych chorobach powiązanych z tymi białkami. To, że homeopatyczna amantadyna wykazuje wysoką skuteczność względem wirusa SARS-cov2 pokazały wstępne badania prowadzone przez moich współpracowników na osobach wykazujących objawy COVID-19.

Literatura

1. D. Wojtkowiak; WIMPy i biologiczna reakcja jądrowa w organizmie człowieka; Gdańsk, 18 sierpnia 2021; www.torsionfield.eu, NEXUS listopad-gudzień 2021, NEXUS styczeń-luty 2022, wersja angielska: WIMPs and biological nuclear reaction in the human body; <https://piotrbein.net/2021/08/19/whence-magnetism-at-vax-sites-wimps-and-cold-synthesis-in-the-human-body/>; www.torsionfield.eu.
2. D. Wojtkowiak, M. Skórkowska, W. Misztal, K. Radoszkiewicz, A. Frydrychowski; Badania informacyjne leków homeopatycznych; *Homeopatia Praktyczna* (2018) 1-4: 95-112.
3. D. J. Morre, S. M. Heald, J. Coleman, J. Orczyk, Z. Jiang, D. M. Morre; Structural observations of time dependent oscillatory behavior of $\text{Cu}^{\text{II}}\text{Cl}_2$ solutions measured via extended X-ray absorption fine structure; *Journal of Inorganic Biochemistry* (2007) **101**: 715-726.
4. D. J. Morre, J. Lawler, S. Wang, T. W. Keenan, D. M. Morre; Entrainment in solution of an oscillating NADH oxidase activity from the bovine milk fat globule membrane with a temperature-compensated period length suggestive of an ultradian time-keeping (clock) function; *Biochimica and Biophysica Acta* (2002) **1559**: 10-20.
5. D. Kern; Method to treat skin conditions with *Narcissus tazetta* bulb extract; US Pat. 2008/0175935 A1.
6. Y. Zhua, J. Guoa, A. Zhanga, L. Lib, X. Liua, H. Liua, X. Yaob; How graphene affects the misfolding of human prion protein: A combined experimental and molecular dynamics simulation study; *Environmental Research* (2019) 171: 1-10; <https://doi.org/10.1016/j.envres.2018.12.057>
7. S. Zhou, Y. Zhu, X. Yao, H. Liu; Carbon nanoparticles inhibit the aggregation of prion protein as revealed by experiments and atomistic simulations; *Journal of Chemical Information and Modeling* (2019) 59: 1909-1918; DOI: 10.1021/acs.jcim.8b00725

8. J. Li, X. Zhang, J. Jiang, Y. Wang, H. Jiang, J. Zhang, X. Nie, B. Liu; Systematic assessment of the toxicity and potential mechanism of graphene derivatives in vitro and in vivo; (2018); doi: 10.1093/toxsci/kfy235.
9. Pablo Campra Madrid; Detection of graphene in covid19 vaccines by micro-raman spectroscopy: technical report; Almeria, Spain, November 2, 2021; <https://www.laquintacolumna.net/>
10. J. Frontinan-Rubio, M. V. Gomez, V. J. Gonzalez, M. Duran-Prado, E. Vazquez; Sublethal exposure of small few-layer graphene promotes metabolic alterations in human skin cells; Scientific Reports (2020) 10:18407; <https://doi.org/10.1038/s41598-020-75448-0>
11. Y. Li, Y. Liu, Y. Fu, T. Wei, L. L. Guyader, G. Gao, R. S. Liu, Y. Z. Chang, C. Chen; The triggering of apoptosis in macrophages by pristine graphene through the MAPK and TGF-beta signaling pathways; Biomaterials (2012) 33: 402e411; doi:10.1016/j.biomaterials.2011.09.091
12. X. Wua, S. Zhenga, Y. Yea, Y. Wua, K. Linb, J. Sua; Graphene enhancing osteogenic differentiation and bone regeneration of poly(lactic-co-glycolic acid) via activation of PI3K/Akt/GSK-3 β / β -catenin signal circuit; J. Name (2013) 00: 1-3; DOI:10.1039/C8BM00127H
13. N. Dabholkar, S. Gorantla, S. K. Dubey, A. Alexander, R. Taliyan, G. Singhvi; Repurposing methylene blue in the management of COVID-19: Mechanistic aspects and clinical investigations; Biomedicine and Pharmacotherapy (2021) 142: 112023; <https://doi.org/10.1016/j.biopha.2021.112023>
14. S. Wang, R. Pogue, D. M. Morre, D. J. Morre; NADH oxidase activity (NOX) and enlargement of HeLa cells oscillate with two different temperature-compensated period lengths of 22 and 24 minutes corresponding to different NOX forms; Biochimica and Biophysica Acta (2001) **1539**: 192-204.
15. D. Wojtkowiak, K. Raduszkiewicz, M. Wojtkowiak, A. Frydrychowski; Spektroskopia pól torsyjnych Gdańsk, kwiecień 2019; <http://www.torsionfield.eu/>
16. C. M. Bonato; Effect of the homeopathic solution sulphur on the growth and productivity of radish; Hpathy Ezine, August 2008. <https://hpathy.com/scientific-research/effect-of-the-homeopathic-solution-sulphur-on-the-growth-and-productivity-of-radish/>
17. F. R. A. Cagampang, S. A. Whatley, A. L. Mitchell, J. F. Powell, I. C. Campbell, C. W. Coen; Circadian regulation of prion protein messenger RNA in the rat forebrain: a widespread and synchronous rhythm; Neuroscience (1999) 91(4): 1201–1204.
18. D. Wojtkowiak; Współczesne spojrzenie na mechanizmy powstawania nowotworów ze szczególnym uwzględnieniem substancji aromatycznych aktywujących receptor AhR oraz wpływu zakłócającego urządzeń elektrycznych; Gdańsk, 1.09.2019, www.torsionfield.eu
19. D. Wojtkowiak; Związek pandemii koronawirusa SARS CoV-2 z siecią 5G; Gdańsk 7.05.2020; www.torsionfield.eu
20. A. P. Kornblatt, V. G. Nicoletti, A. Travaglia; The neglected role of copper ions in wound healing; Journal of Inorganic Biochemistry (2016); doi: 10.1016/j.jinorgbio.2016.02.012
21. J. Salvo, C. Sandoval; Role of copper nanoparticles in wound healing for chronic wounds: literature review; Burns and Trauma (2022) 10, tkab047; <https://doi.org/10.1093/burnst/tkab047>
22. E. Melamed, P. Kiambi, D. Okoth, I. Honigber, E. Tamir, G. Borkow; Healing of chronic wounds by copper oxide-impregnated wound dressings—case series; Medicina (2021) 57, 296; <https://doi.org/10.3390/medicina57030296>
23. D. Wojtkowiak, B. Głębińska, W. Misztal, M. Skórkowska, A. Frydrychowski; Infekujące leki homeopatyczne oparte o struktury aromatyczne, Gdańsk 21.06.2020; www.torsionfield.eu

24. J. M. Hong, K. S. Kanga, H. G. Yi, S. Y. Kim, D. W. Cho; Electromagnetically controllable osteoclast activity; *Bone* (2014) 62: 99–107.
<http://dx.doi.org/10.1016/j.bone.2014.02.005>
25. D. Wojtkowiak; Nowotwory bez winowajców; Gdańsk, 21 sierpnia 2019;
www.torsionfield.eu